

本四架橋における掘削実験について

本州四國連絡橋公団 古 開 新也

はじめに

本州四國連絡橋工事において重要な課題の一つとして海中基礎の掘削があげられる。瀬戸内海の主航路を跨ぐ長大橋の基礎には非常に大きい荷重がかかり、このため従来の一般工木構造物にくらべてはるかに堅い地盤までの海底掘削を行う必要があり、また瀬戸内の地質は褶曲が多く、節理・断層が非常に発達しているので掘削壁面の崩壊が起り易いなど、それぞれの地質・地盤に適応できる性能の掘削機と掘削工法の開発が望まれてきた。

また架橋地盤は狭い海峡部で運んでいる關係から潮流も速く、水深も 30 ~ 50 mといふ處での施工も多く、目に見えない海底で正しい位置と深さの掘削を大量に行うためには種々むづかしい問題がでてくる。さらに最近公害問題が大きくクローズアップされ、海底掘削による海水汚濁、水産資源の保護にも充分考慮を払いながら作業しなければならない。以下本四公団が 46 年度より 47 年度、神戸市高倉山でおこなった掘削実験のうちその一、二について述べることにする。

掘削実験の経緯

一般的には、海底基礎地盤の掘削手段として海上足場からたて孔掘削機などによる円形孔の掘削と、ケラブ船やポンア船などの浚渫船による海底面の掘削が考えられ、後者の場合地盤が硬くなればあらかじめ砕岩機や水中爆破で岩盤を破碎する必要がある。これら浚渫船は以前から航路浚渫など使用実績は多く最近までに大規模・高性能の機種が開発されていゝ現状である。一方海底面での削孔機械として海外においては石油井戸試掘用の比較的小口径の削孔機械や設備については開発もすすんでいますが大口径の掘削機械となるとその機種や施工の例も少く、本四架橋の様に軟硬錯綜した海底地盤を口径 3 ~ 4 m の下削孔していくには新しい機種と施工法の開発が必要である。当公団設立以前から建設省はじめとして調査、研究が進められてきた。本四連絡橋公団が昭和 45 年に設立されてからも海底岩盤掘削用機械の基礎的調査や開発、試作、それらの性能確認のための諸実験工事が行はれて来たが高倉山での実験もその一つであり、現在までの掘削実験の経過を次表に示した。

本四公団掘削実験一覧表				
掘削機名	規格	45年度	46年度	47年度
マキナンアリ碎岩機	10-B-3		鬼島 風化G	
回転式掘削機	ピニーズ LDM-50F 1.4m		鬼島 風化G	
"	ジルト L-2 横 1.2m			高倉山 地山・Mo

回転式掘削機	土研式 $2.5m \sim 3.0m$		高倉山 鳴門 和歌砂原	造生 風化G・新鮮G
"	ガルト L-105 $3.65m$ 川重 KSD-4 $3.65m$ 三菱 MD-360 $3.6 m$			高倉山 (3種類) M。
重錘掘削機	十文字刃 $3.16m$	高砂 Co.	鳴門 和歌砂原	高倉山 M。
"	ドロップハンマ $中2.45m$			高倉山 M。
"	十文字刃 $10 m$ ドロップハンマ		高砂 Co.	鳴門 和歌砂原
高圧式エッソ掘削	圧力 = $P \sim 200 kg/cm^2$			高倉山 鳴門 Co-Mo
水中飛破			大三 島沖 海面	

高倉山における陸上掘削実験

この実験は、昭和 46 ~ 47 年度にわたり本四公団がおこなった掘削実験で建設省ならびに公団所有の掘削機のはか国内で開発されたロータリ掘削機について実用試験を行い、各機種の掘削性能を把握するとともに、組立・掘削・解体作業の歩掛りなどを調査、取りまとめることを目的として行なった。実験場所として神戸市須磨区多井畠烟黒谷（高倉山）を選んだが実験地付近を構成する地質は、粗粒の黒雲母花崗岩で一般に深部まで風化が進み、現地での 2 本のボーリング結果では、ほとんどコアを採取することが出来ず、ボーリング孔間の地盤弹性波速度は最高 $26 km/sec$ しか得られなかつた。このため特別に軟岩を対象とした掘削実験を実施する以外は、 $\delta_{28} = 400 kg/cm^2$ を目標としたコンクリートモルタルの擬似岩盤を打設することとした。

実験に使用した掘削機械として次の種類があげられるが、本文としては主として（1）および（2）のロータリ一掘削機ならびに（4）の高圧噴流水掘削装置についてその概要と実験結果を述べることとする。

- (1) $\phi 2.5 \sim 3.0 m$ ロータリ一掘削機 (建設者土木研究所)
- (2) $\phi 3.6 m$ ロータリ一掘削機 (石川島播磨重工・三菱重工・川崎重工)
- (3) 重錘式掘削機 (本四公団)
- (4) 高圧噴流水掘削装置 (本四公団)

$\phi 2.5 \sim 3.0 m$ ロータリ一掘削機

回転式の掘削機は、当初 RC ドリル (リバースサーキュレーションドリル) がわが国に導入されたが、硬岩はもろろん軟岩の地盤に対する掘削もできないものであり、掘削口径も $1.5m$ などよりであった。岩盤掘削機として外國では石油井戸の削孔から発達した大口径ロータリ掘削機を用い鉱山の堅坑掘削とが核地下実験用の掘削の施工例が紹介されていたが、技術的なデータが乏しく、海中の基礎掘削に RC ドリルを適用することが考えられたが実用に供しうる段階ではなかつた。そこで建設省土木研究所を中心として、本機による掘削に当つて一番問題になるカッターについて研究が始められ岩盤に対する削孔性の把握を行なうとともに、高水深に適するよう駆動装置が水没するダウンザホー

ル型の掘削残が開発されることになった。この掘削残の口径は ϕ 2.5 m で ϕ 3 m まで拡孔することから、カッターはローラカッターとペイト型カッターに分け替えることができる。実験はこの2種類のカッターについておこなはれ、カッター推力と回転数を変化させて掘削速度、回転トルクなどを測定した。

実験結果として

(1) 回転数 $\vartheta \sim 10$ RPMにおいて(ペイト型カッター)の場合、地山で $2.0 \sim 3m/h$ 、セメントモルタルで $0.5 \sim 0.8 m/h$ 、であって、またローラカッタの場合、地山で $1.0 m/h$ 、セメントモルタルで $2.2 m/h$ を得た。即ちローラーカッタは比較的堅い岩盤に適しペイト型カッターは軟い地盤に高い掘削能率を示している。ビット推力と掘削速度の関係を下図に示す。

(2) ビットの摩耗状況はペイトビットの場合、地山 $2.0 m$ の掘削で

約 70 % の欠損が認め

られたがローラビット

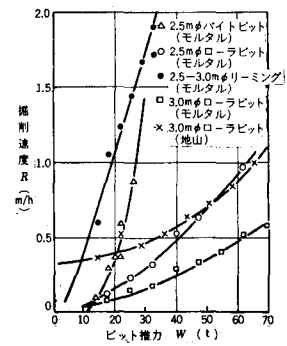
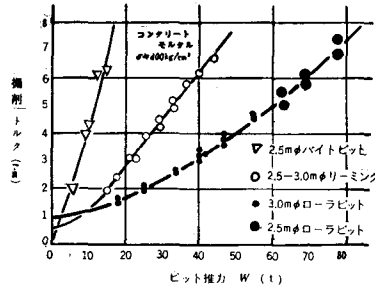
の場合地山 $2.6 m$ 、セ

メントモルタル $4 m$ の

掘削を行ふ摩耗高さで

最高 $5 mm$ 程度であつ

た。



中 $3.5 \phi m$ 級ロータリ掘削機

工研式中 $2.5 \phi m$ ロータリ掘削機の開発について国内の四社において中 $3.5 \phi m$ 級ロータリ掘削機が相手に製作されたが岩盤用にて孔掘削機

として目下最大口径のものである。

実験はこれらの中うち3種類について行つたが前述る $= 400 kg/m^2$ のセメントモルタルの擬似岩盤を約 $8 m$ を掘り下げることした。3種類ともビット駆動方式が相違しているがそれが各機械のそれ各自の特色をあらわしているとも云ふう。以下簡単にその構造を説明することとし、主なる諸元を表-1 及び外観図を図-1 に示す。

(1) L-10S型(ロータリードラム式)

この型式は構構的にいつてRCドリルとほぼ同一でありドリルパイプをロータリードラムと呼ばれる駆動装置を介して

表-1 3.5 ϕm 級大口径掘削機仕様一覧

項目	社名	川崎重工業㈱	三菱重工業㈱
型式名	L-10S	川重 $3.65 \phi m$	MDM300
口径	$3.65 \phi m$	$3.40 \sim 3.65 \phi m$ (リミング)	$3.6 \phi m$
ビット形式	ローラー(24個)	ローラー(33個)	ローラー(22個)
駆動位置	上部	水中(max 50 m)	上部
駆動方式	ロータリーテーブル	平衡車ケリー	ロータリ装置昇降
機械配置	分離型	分離型	一体型
ドリルストリング支持方法	旋回ジブフレーン 200 t	水中グリッパー	油圧ジャッキ (ガイドマスト)
ドリルストリング重量 (水深 $2.0 m$ 基準)	120 t	65 t	157 t
スイベル許容荷重	180 t	(スラスト荷重max 260 t)	200 t
総重量 (原動機ユニット除く)	162 t	116 t	265 t
最大トルク	$36 t\cdot m$	$35 t\cdot m$	$40 t\cdot m$
回転速度	$0 \sim 18 r.p.m$	$0 \sim 10 r.p.m$	$0 \sim 16 r.p.m$
原動機出力	$160 ps \times 2台 = 320 ps$	電力 460 kW	$115 ps \times 4台 = 460 ps$
ドリルパイプ口径	$300 \phi mm \times 3 m$	$250 \phi mm \times 3 m$	$406 \phi mm \times 5 m$
ずり揚げ方式	ポンプサクション及びエアーリフト	周左	周左
全装備重量	(182 t)	154 t	276 t

回転することによって掘削を行なう。ロータリーテーブルを通過する部分のドリルパイプはチリーベーと呼ばれる四角断面をもつたパイプで、回転力が伝えられるとともに垂直方向には自由に動きうるので、掘削かす、土につれてドリルパイプも下りて行く構造のもので、掘削に必要な推力はピットボディおよびドリルカラーハイドロマチックで与えようになつてゐる。また掘削ずりはエヤリフトまたはサクションポンプによりドリルパイプを通じて機外に排出される。

(2) MDM 300 (パワースイベル式)

この型式の残械も基本的にはR.Cドリルの型式をとっているが、一番大きな違いはパワースイベルトと呼ばれる装置をつけた点であり、ロータリーテーブル式のチリーベーをなくしてこのスイベル部分でドリルパイプに回転を伝えると共に油圧シリンダーでカスイベル部分を上下してドリルストラクチャを昇降するようにしたものである。ロータリーテーブル式が推力に相当する重量を吊り上げうるクレーンを常備しなければならないが、この方式ではそれを省略できること等の利点がある。

(3) 川重 3.6 m (ダウンホール式)

この型式は工研式やスミスミスホール式掘削機と構造的に同一である。岩を掘削するためにはカッタを大さく力で岩に押しつける必要があり、前述の2種類ではドリルカラと呼ばれる重錠とドリルセット直上の部分に取付けて作りだされていたが、この型式ではグリップハンドルやツッキと呼ばれる油圧装置を本体の上、下段にグリップハンドルを張り出し孔壁に押しつけてトルクの反力や推力をシリンダーや反力をとるようになっている。このため機械本体の重量の軽減と、ツッキ操作による推進方向を制御できるように考慮されている。

実験結果について

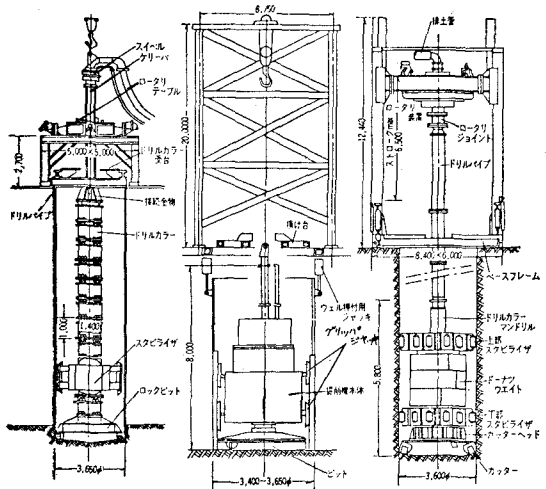
(1) ピット荷重と掘削速度

図-2は実験結果から得たピット荷重と掘削速度の関係を示した一例である。また本実験中得られた最大能力として $1.2 \text{ m}^3/\text{hr}$ 前後を記録することが出来た。ピット回転数を決める方法としてHughes社の式では

$$N_{\max} = 36.6/d \quad (N: \text{ピット回転数} (\text{r.p.m}), d: \text{ピット口径} (\text{m}))$$

$$d = 3.6 \text{ m} \text{ とすれば } N = 10 \text{ r.p.m} \text{ となる。}$$

本実験では3種類ともピット回転数は8 r.p.mと10 r.p.m



(a)ロータリーテーブル型 (b)ダウンホール型 (c)パワースイベル型
図-1 3.6 m ロータリ掘削機全体図

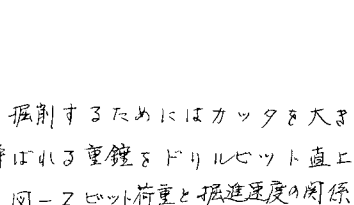
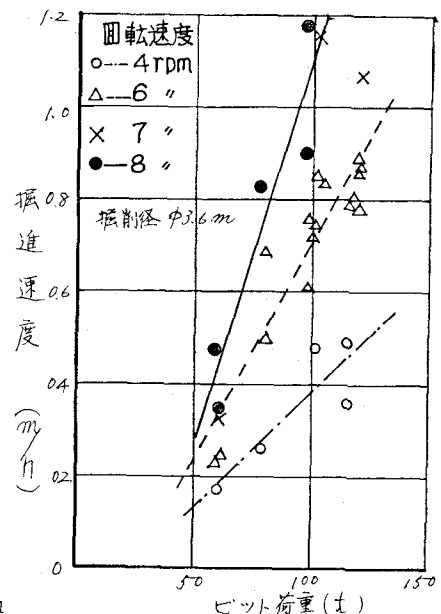


図-2 ピット荷重と掘削速度の関係



で掘進速度の差が殆んどみとめられなかつたので $N_{max} = 8$ r.p.m 加工限と考えられたが、実用回転数は 6 r.p.m 程度が妥当であると考えられた。またビット荷重については各機種とも最高荷重付近における掘進速度の伸び率の鈍化現象は認められずさらに直線的に伸びる傾向を示してはいるが、通常の掘削においては孔曲りを防ぐためドリルストリングカバー程度を吊つて掘削する場合を想定すれば掘進速度は大体に低下すると想はれるのでドリルストリングの重量の増加が予測される。

(2) ビット荷重と掘削トルク

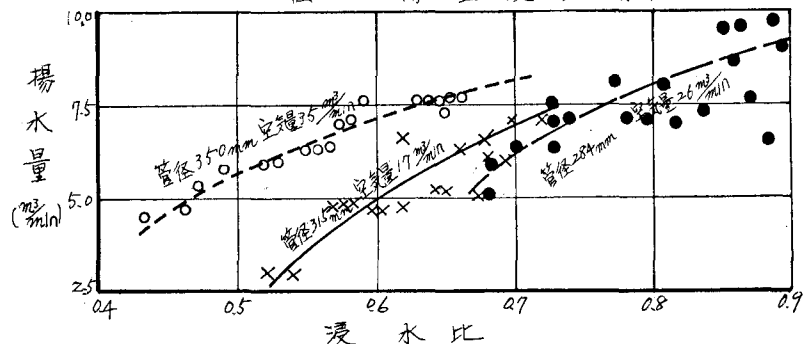
図-3も本実験で得たビット荷重に対する掘削トルクの関係を示したものであるがこのほかには残機の空転トルクも含まれてあり、空転トルクと差引いた値が掘削に要したトルクであり正味掘削トルクは各機種とも大差はないかった。また各機種の最大掘削速度のときの所要トルクを残機側の設計トルクと比較し、設計トルクに対する所要トルクの比率を求めると 55%～65%となり、最大能力時ににおいて 35%～45%と可なり余裕を残していた。

(3) 揚水量と浸水比

エアリフトによる揚水量

はドリルパイプの浸水比に大きく左右され、また使用空気量、ドリルパイプの内径にも関係するが実験で得られた結果を図-4に示す。掘削前に生ずる掘削土砂の排除手段はクリーニングは、揚水量の大小のほか吸込み口の型状、取り付け位置によつても左右され、掘削速度やローラビットの摩耗に著しく影響をあたへるものであるが、上記掘進速度などの曲線から推定してみるとほぼ充分であり、ローラビットの摩耗も殆ど認められなかつた。

図-4 揚水量と浸水比の関係



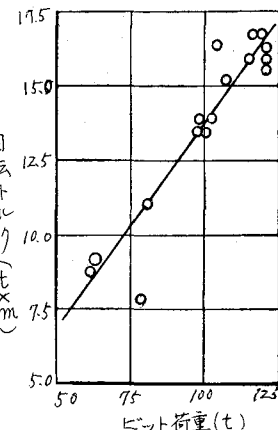
高压噴流水掘削装置実験

この実験は公團が試作した高压噴流水掘削装置の掘削能力の把握、面掘削への適応性、コンクリートレイタンスの除去と打ち継ぎ処理の確認のために行なつたものである。

掘削対象地質としては圧縮強度 50, 100, 200 kg/cm² のセメントモルタルの擬似岩盤と地山について行なつた。

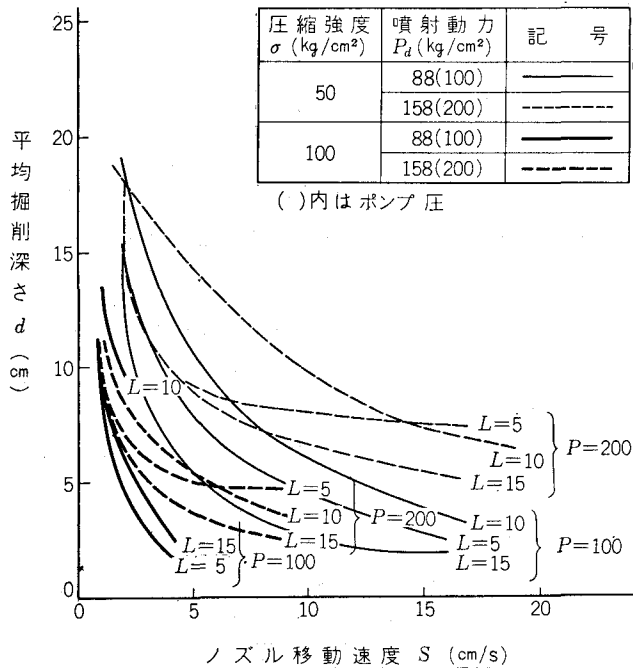
まず基礎的実験としてセメントモルタルについて一列の溝掘削を行い、噴射動圧 (P_d)、ノズル移動速度 (S)、ノズル噴射距離 (L)、による掘削幅 (b)、掘削深 (d)、掘削量 (V) の変化を調べることとし、噴射圧及び水量は $200 \text{ kg}/\text{cm}^2$ で $320 \text{ l}/\text{min}$, $100 \text{ kg}/\text{cm}^2$ で $1.100 \text{ l}/\text{min}$ であります。

図-3 ビット荷重と回転トルクの関係



ノズルの口径は噴射圧力により異り $P = 100 \text{ kg/cm}^2$ の場合 $\phi = 13.2 \text{ mm}$, $P = 200 \text{ kg/cm}^2$ の場合 $\phi = 6.0 \text{ mm}$ であった。

図-5 ノズル移動速度と掘削深さ(水平溝切り)の関係



P_d (kg/cm^2)	L (cm)	気中 A	記号
30 (50)	10	W	×—×
	10	A	□
	10	W	●—●
	20	W	◎
	30	W	▲
	10	W	○—○
88(100)	30	W	△

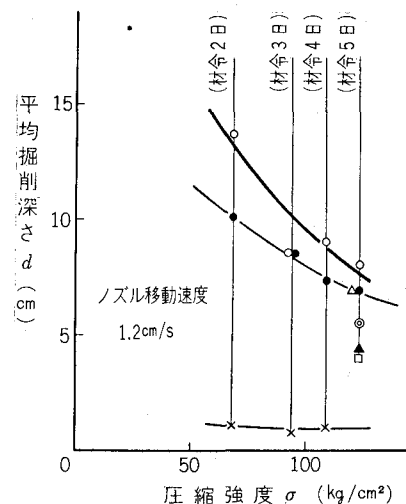


図-6 圧縮強度と平均掘削深さの関係

掘削深さ (d), モルタル強度 (G), ノズル移動速度および噴射距離 (L) の関係を示すと図-5のとおりである。

噴射圧力が大きくなるとノズル移動速度が遅くなったり、掘削深さは深くなる。また、移動速度が 2.5 cm/sec 以下になると噴射距離による差もなくなり、強度が2倍になると、掘削深さは $1/2$ となる結果が得られた。

また、強度と掘削深さの関係は、モルタルを強度ごとに同一条件 ($S = 1.2 \text{ cm/sec}$) で掘削したときの圧縮強度と掘削深さの関係図-6 からも同様の傾向をうかがえた。

ただ、噴射圧力 50 kg/cm^2 の場合、掘削深さの強度による差はないが、値は非常に小さい。

地山面掘削の場合のノズル移動速度、掘削量の関係を図-7に示す。地山面掘削では $P = 100 \text{ kg/cm}^2$, $L = 3 \text{ cm}$, $S = 15 \text{ cm/sec}$ で $V = 44 \text{ m}^3/\text{h}$ と最高の能力を示した。

P_d (kg/cm^2)	L (cm)	記号	注)
30 (50)	50	×—×	1. P_d : 噴射動圧 () 内はポンプ圧
	100	◎—◎	L : 噴射距離
88(100)	30	●—●	2. 地山
	50	◎—◎	$\sigma = 35 \text{ kg}/\text{cm}^2$
	80	●—●	3. 気中掘削
	100	▲—▲	
158(200)	50	○—○	
	100	△—△	

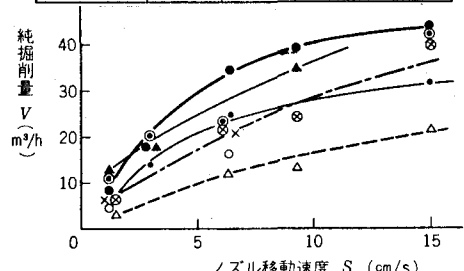


図-7 ノズル移動速度と掘削量
との関係 (地山面掘削)

以上、